

ИЗВЕСТИЯ
ТОМСКОГО ОРДЕНА ТРУДОВОГО КРАСНОГО ЗНАМЕНИ ПОЛИТЕХНИЧЕСКОГО
ИНСТИТУТА имени С. М. КИРОВА

Том 107

1963

**ПРОФИЛИРОВАНИЕ ЦИЛИНДРИЧЕСКИХ КУЛАЧКОВ
ПО ДУГАМ ЭЛЛИПСОВ (ПО ЗАДАННОМУ УСКОРЕНИЮ
И УГЛУ ДАВЛЕНИЯ ТОЛКАТЕЛЯ)**

Е. И. ТОРОПЫГИН

(Представлено объединенным семинаром кафедр прикладной механики
и начертательной геометрии и графики)

В нашей статье [1] были освещены вопросы профилирования цилиндрических кулачков с осевым остроконечным толкателем по заданному ускорению и максимальному перемещению толкателя. В настоящей статье мы ставим целью осветить методику и вывести расчетные формулы для профилирования тех же кулачков по известному ускорению и величине угла передачи кулачка, которая для данных механизмов равна углу давления толкателя.

Аналогично предыдущему случаю мы будем считать в числе заданных величин коэффициент отношения ускорений γ и окружную скорость кулачка U .

Определение неизвестных величин для построения профиля кулачка начнем с участка ускоренного движения толкателя, а затем перейдем к участку замедленного движения его.

Для построения профиля кулачка необходимо будет определить такие величины, как $h_1, h_2; a_1, a_2; A_1, A_2; B_1, B_2$.

Введем следующие обозначения:

Разновидность параметра и размерность	Тип профилирующей кривой	На участке		Суммарная величина
		ускор. движения толкателя	замедлен. движения толкателя	
1	2	3	4	5
Окружное перемещение кулачка, в см	Парабола Эллипс Окружность	a_{1n} a_1 a_{10}	a_{2n} a_2 a_{20}	a_n a a_0
Перемещение толкателя, в см	Парабола Эллипс Окружность	h_{1n} h_1 h_{10}	h_{2n} h_2 h_{20}	h_n h h_0
Большая полуось, в см	Эллипс	A_1	A_2	—
Малая полуось, в см	Эллипс	B_1	B_2	—
Радиус, в см	Окружность	R_1	R_2	—

1	2	3	4	5
Скорость толкателя, в см/сек	Эллипс	V_1	V_2	—
Угол давления в переходной точке, в градусах	Парабола, эллипс, окружность	θ	Θ	—
Максимальное ускорение толкателя, в см/сек ²	Парабола, эллипс, окружность	j_1	j_2	—

Все эти неизвестные величины связаны между собой и изменение одной из них обязательно ведет к соответствующему изменению остальных. Для решения задачи необходимо будет задаться одной из них и переходить к определению остальных. В зависимости от этого будет рассмотрено несколько вариантов. Но прежде мы рассмотрим те частные случаи профилирования кулачка по дугам эллипсов, которые имеют место при соответствующем изменении параметров профилирующих эллипсов с тем, чтобы знать в каких пределах следует задаваться тем или иным неизвестным при решении задачи по соответствующему варианту.

Известно, что [1] для эллиптического кулачка

$$j_1 = \frac{A_1 B_1 U^2}{(V B_1^2 - x^2)^3}. \quad (1)$$

Соответствующее изменение параметров профилирующего эллипса приводит в одном случае к параболе, а в другом — к окружности. Так, если увеличивать определенным образом параметры эллипса A_1 и B_1 до ∞ , то в пределе мы можем получить параболу. Уменьшение же параметра A_1 до значения, при котором $A_1=B_1$ приводит эллипс к окружности.

Известно следующее свойство параболы [2] (рис. 1):

$$a_{1n} = 2k_1.$$

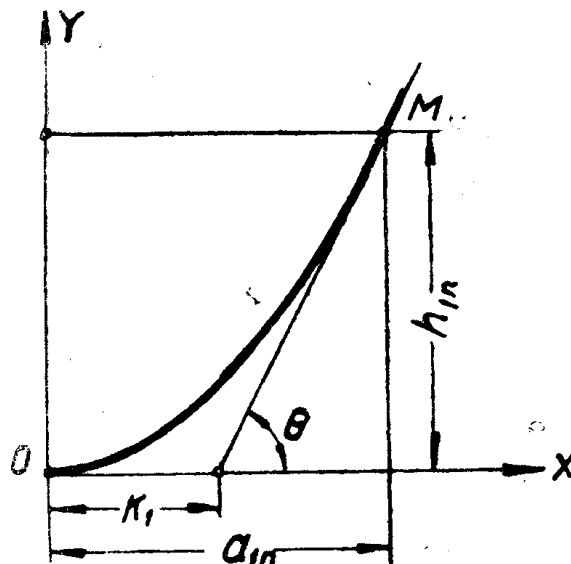


Рис. 1. Теоретический профиль кулачка, образованный по параболе.

На этом основании

$$a_{1n} = \frac{2h_{1n}}{\operatorname{tg} \Theta}. \quad (2)$$

Из [1] имеем

$$a_{1n}^2 = \frac{2h_{1n}U^2}{j_1}. \quad (3)$$

Решая (3) и (2) совместно, получим значения перемещений кулачка a_{1n} и толкателя h_{1n} в том случае, когда профилирующий эллипс при $A_1 = B_1 = \infty$ превращается в параболу

$$a_{1n} = \frac{U^2}{j_1} \operatorname{tg} \Theta, \quad h_{1n} = \frac{(U \operatorname{tg} \Theta)^2}{2j_1}. \quad (4)$$

Таким образом, выражения (4) являются расчетными для определения размеров параболы, являющейся одним пределом изменения профилирующего эллипса.

Перейдем к выводу расчетных формул для определения параметров окружности, являющейся другим пределом изменения профилирующего эллипса.

Из треугольника O_1CM при $x = a_{10}$ (рис. 2) найдем

$$a_{10} = R_1 \sin \Theta. \quad (5)$$

Если в уравнении (1) вместо $A_1 = B_1$ подставить значение R_1 и решить его совместно с уравнением (5), то получим

$$\begin{aligned} R_1 &= \frac{U^2}{j_1 \cos^3 \Theta}, \\ a_{10} &= \frac{U^2 \operatorname{tg} \Theta}{j_1 \cos^2 \Theta}. \end{aligned} \quad (6)$$

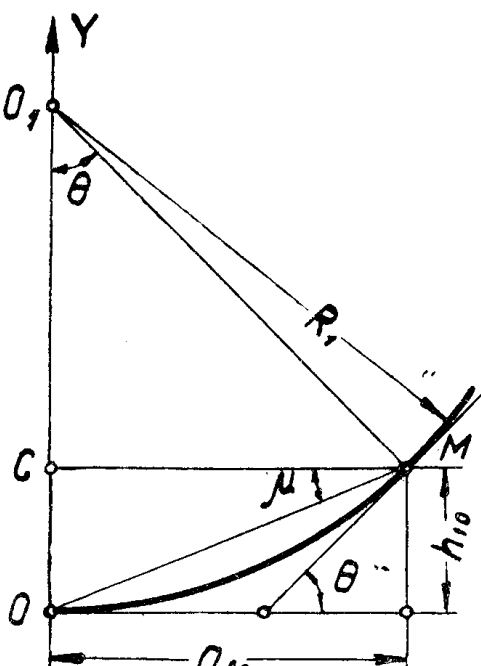


Рис. 2. Теоретический профиль кулачка, образованный по дуге окружности.

Из треугольника OCM имеем

$$h_{10} = a_{10} \operatorname{tg} \mu. \quad (7)$$

Рассматривая треугольники OO_1M и OCM и учитывая, что $\angle O_1OM = \angle OMO_1$, получим

$$\mu = \frac{\Theta}{2}.$$

Подставляя полученное значение μ в (7), найдем

$$h_{10} = a_{10} \operatorname{tg} \frac{\Theta}{2},$$

или на основании (6)

$$h_{10} = \frac{U^2 \operatorname{tg}^2 \Theta}{j_1 \cos \Theta (1 + \cos \Theta)}. \quad (8)$$

Теперь найдем зависимости, позволяющие профилировать цилиндрические и плоские поступательные кулачки по дугам эллипсов.

Первый вариант. Решение задачи базируется на предварительном выборе величины a_1 . Известны следующие выражения [1]:

$$A_1 = \frac{j_1 a_1 h_1 - U^2 \operatorname{tg} \Theta h_1 + U^2 a_1 \operatorname{tg}^2 \Theta}{j_1 a_1 - U^2 \operatorname{tg} \Theta},$$

$$A_1 = \frac{(a_1 \operatorname{tg} \Theta - h_1) h_1}{a_1 \operatorname{tg} \Theta - 2h_1}. \quad (9)$$

При этом A_1 откладывается по оси OY , а B_1 —по оси OX . Решая уравнения (9) совместно, получим следующую расчетную формулу:

$$h_1 = \frac{U^2 a_1 \operatorname{tg}^2 \Theta \left[\sqrt{\frac{j_1 a_1}{U^2 \operatorname{tg} \Theta}} - 1 \right]}{j_1 a_1 - U^2 \operatorname{tg} \Theta}. \quad (10)$$

Величину A_1 определим, используя (9), а B_1 , используя известное выражение [1],

$$B_1 = A_1 \sqrt{\frac{a_1}{(A_1 - h_1) \operatorname{tg} \Theta}}. \quad (11)$$

Второй вариант. Решение задачи основано на выборе величины h_1 . Для определения a_1 воспользуемся следующей зависимостью [1]:

$$a_1 = \frac{(j_1 h_1 + 2U^2 \operatorname{tg}^2 \Theta) h_1 + \sqrt{[(j_1 h_1 + 2U^2 \operatorname{tg}^2 \Theta) h_1]^2 - 4U^4 h_1^2 \operatorname{tg}^4 \Theta}}{2U^2 \operatorname{tg}^3 \Theta}. \quad (12)$$

Что касается параметров A_1 и B_1 , то значение их определяется в соответствии с выражениями (9) и (11).

Третий вариант. Задаемся величиной A_1 . Из уравнений (9) имеем

$$a_1 = \frac{(A_1 - h_1) U^2 \operatorname{tg} \Theta}{A_1 j_1 - h_1 j_1 - U^2 \operatorname{tg}^2 \Theta}, \quad a_1 = \frac{(2A_1 - h_1) h_1}{(A_1 - h_1) \operatorname{tg} \Theta}. \quad (13)$$

Решая уравнения (13) совместно, получим кубическое уравнение

$$h_1^3 - 3A_1 h_1^2 + 2A_1^2 h_1 - \frac{A_1^2 U^2 \operatorname{tg}^2 \Theta}{j_1} = 0. \quad (14)$$

Уравнение (14) можно решить графически.

В результате предварительного определения пределов изменения параметров профилирующего эллипса примерная величина перемещения толкателя h_1 уже известна, что значительно облегчает определение искомого корня.

Далее по формуле (12) находим a_1 , после чего, в соответствии с (9) и (11), определяем остальные необходимые величины.

Что касается получения величин на участке замедленного движения толкателя, то для этой цели воспользуемся известным выражением [1]:

$$\frac{j_1}{j_2} = \frac{a_{2n}}{a_{1n}} = \frac{h_{2n}}{h_{1n}} = \frac{R_2}{R_1} = \frac{a_{20}}{a_{10}} = \frac{h_{20}}{h_{10}} = \frac{A_2}{A_1} = \frac{B_2}{B_1} = \frac{a_2}{a_1} = \frac{h_2}{h_1}. \quad (15)$$

Пример 1

Дано: $j_1 = 100 \text{ см/сек}^2$; $U = 10 \text{ см/сек}$; $\Theta = 50^\circ$.

Рассчитать профиль цилиндрического кулачка на участке ускоренного движения толкателя по дугам эллипсов, парабол и окружностей.

Решим задачу по первому варианту.

Из (4), (6) и (8) имеем: $a_{1n} = 1,19 \text{ см}$, $h_{1n} = 0,71 \text{ см}$, $a_{10} = 2,9 \text{ см}$, $R_1 = 3,77 \text{ см}$, $h_{10} = 1,35 \text{ см}$.

Задаемся $a_1 = 1,4 \text{ см}$.

В соответствии с (10) получим $h_1 = 0,85 \text{ см}$.

Из уравнений (9) и (11) последовательно имеем $A_1 = 9,5 \text{ см}$, $B_1 = 3,63 \text{ см}$.

Пример 2

Дано $j_1 = 600 \text{ см/сек}^2$; $U = 50 \text{ см/сек}$; $\Theta = 45^\circ$; $v = 2$.

Рассчитать и вычертить профили цилиндрического кулачка с осевым остроконечным толкателем по дугам парабол, эллипсов и окружностей и соответствующие им кривые ускорения.

Определим необходимые величины на участке ускоренного движения толкателя.

Из (4) для одного из пределов изменения параметров профилюющего эллипса получим

$$a_{1n} = 4,17 \text{ см}; \quad h_{1n} = 2,10 \text{ см}.$$

Из (6) найдем значение радиуса окружности, в которую вырождается профилюющий эллипс

$$R_1 = 11,8 \text{ см}.$$

Величина R_1 при решении задачи по третьему варианту будет служить некоторым ориентиром для выбора значения A_1 .

Из (6) и (8) находим $a_{10} = 8,35 \text{ см}$, $h_{10} = 3,45 \text{ см}$.

Дальнейшее решение задачи выполним по третьему варианту. Задаемся величиной $A_1 = 50 \text{ см}$.

На основании (14) получим следующее кубичное уравнение:

$$h_1^3 - 150h_1^2 + 5000h_1 - 10400 = 0.$$

Задаваясь различными значениями h_1 в пределах от $h_{1n} = 2,10 \text{ см}$ до $h_{10} = 3,45 \text{ см}$, построим график (рис. 3), из которого находим $h_1 = 2,23 \text{ см}$. По условию (12) находим $a_1 = 4,55 \text{ см}$ и соответственно по (9) и (11) — $A_1 = 51,73 \text{ см}$, $B_1 = 15,66 \text{ см}$.

Заданное ускорение j_1 при полученных значениях параметров профилюющего эллипса в соответствии с условием (1) при $x = a_1$ сохраняет свою величину.

Параметры профилюющих кривых на участке замедленного движения толкателя найдем по уравнению (15)

$$a_{2n} = 8,34 \text{ см}, \quad h_{2n} = 4,17 \text{ см},$$

$$A_2 = 103,46 \text{ см}, \quad B_2 = 31,32 \text{ см},$$

$$a_2 = 9,1 \text{ см}, \quad h_2 = 4,45 \text{ см},$$

$$R_2 = 23,6 \text{ см}, \quad a_{20} = 16,7 \text{ см},$$

$$h_{20} = 6,91 \text{ см}.$$

Построим профили кулачка по дугам парабол, эллипсов и окружностей, а также кривые ускорения (рис. 4).

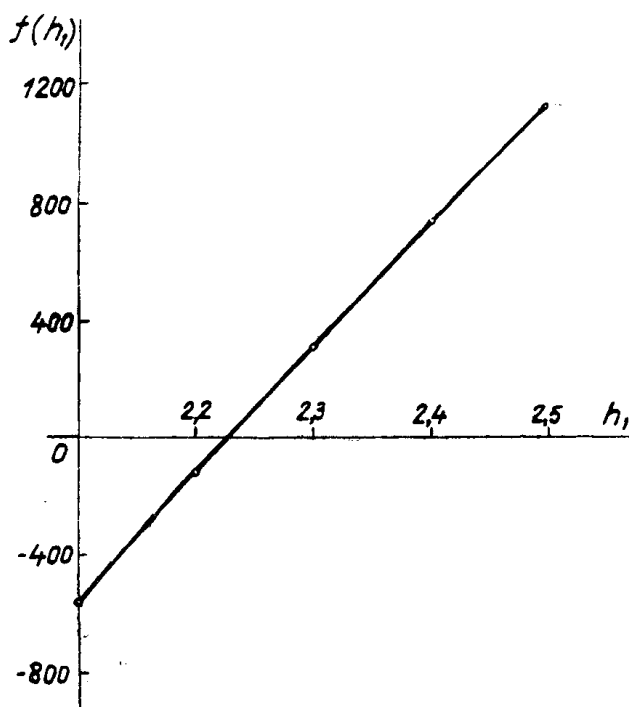


Рис. 3. Графическое определение величины h_L .

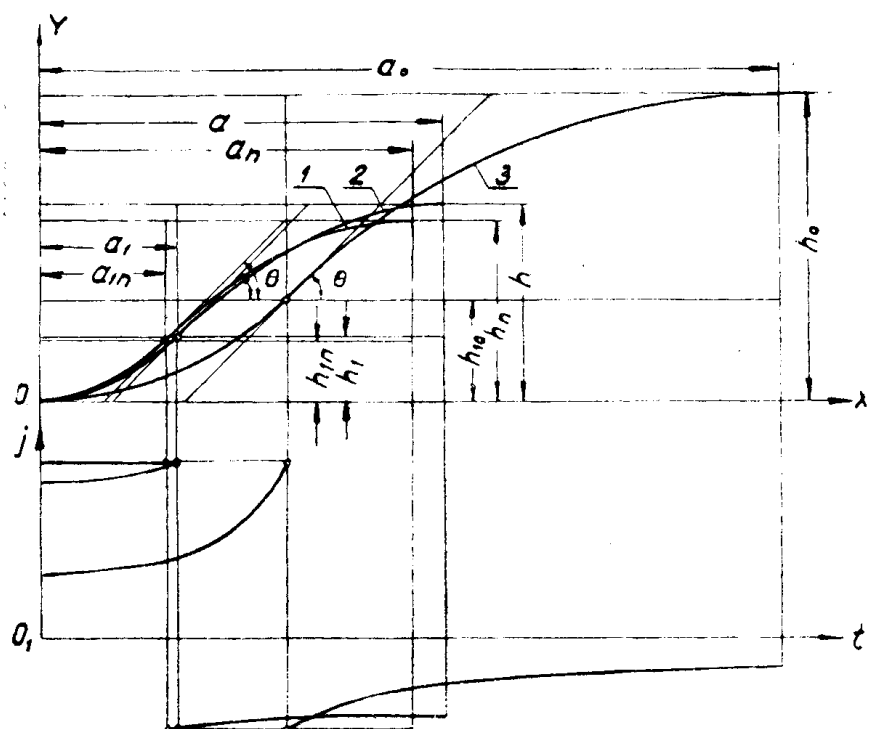


Рис. 4. Профилирование кулачка по дугам: 1) парабол, 2) эллипсов и 3) окружностей и соответствующие им кривые ускорения.

Сравнивая полученные профили кулачка и ускорения толкателя между собой, следует отметить:

1. Размеры кулачка при профилировании его по дугам эллипсов значительно меньше размеров кулачков при профилировании его по дугам окружностей и почти не отличаются от размеров параболического кулачка.

2. Ускорение толкателя при профилировании кулачка по дугам эллипсов изменяется в значительно меньших пределах, чем это имеет место при профилировании его по дугам окружностей, и по средней величине своей приближается к постоянному ускорению параболического кулачка.

ЛИТЕРАТУРА

1. Торопыгин Е. И. Профилирование цилиндрических кулачков по дугам эллипсов. Известия вузов, Машиностроение, № 1. 1960.

1. Решетов Л. Н. Кулачковые механизмы. Машгиз, М., 1953.